

## まさ土のせん断特性に及ぼす含水比の影響について

山口大学 工学部 正東・村田考一, 正三・浦哲彦  
 山口県土木建築部 中西加雄, 古川博  
 " " 国府勝宏, 國近義昭

## 1. まえがき

砂質土の切土斜面や盛土斜面は、豪雨時にしばしば崩壊する。その原因として、i) 土の単位重量の増加と雨水の土中への浸透と伴う斜面の不安定化、ii) 雨水による表面侵食、iii) 土のせん断強度の低下が挙げられる。これらはいずれも土質工学上の重要な問題で、多くのテーマについて数多くの研究が行われている。本報告は、含水比の変動を伴う亂したまさ土のせん断特性の変化について言及するものである。水分の影響を受けて乱したまさ土のせん断特性が変化するのは、毛管結合力、摩擦力および粒子破砕効果の変化によると考えられる。これらの要因のせん断強度に寄与する程度は定量的にまだ明瞭ではないが、ここで各要因ごとに考察した。

## 2. 試料と実験方法

実験に用いたまさ土は、宇部市内で採取し石試料で、最大粒径 4.76 mm,  $D_{50} = 1.0 \text{ mm}$ ,  $G_s = 2.65$  および供試体作成時の含水比 2.5% である。三軸圧縮試験は、次の 5 種類の方法で含水比を変化させ、側圧一定・排水条件下で実施した。 $D_0$ : 単槽供試体を 1 時間圧密し、ひずみ制御方式でせん断,  $D_{20}$ : 圧密後、応力制御方式で破壊軸差応力  $\sigma_f$  の 20% の応力状態とし、120 時間放置して後ひずみ制御方式でせん断,  $D_{20W}$ : 同じく  $\sigma_f$  の 20% の応力状態で水を供给して湿润状態とし、120 時間放置して後せん断,  $D_{20WD}$ : 同じく  $\sigma_f$  の 20% の応力状態で湿润状態とし、24 時間放置して後、96 時間乾燥空気を通じ乾燥状態に変してからせん断,  $D_{20WD_0}$ :  $D_{20WD}$  と同じく乾燥空気で含水比を下げ、ある含水比  $w$  とした後せん断。

## 3. 実験結果と考察

3.1. せん断強度と含水比の関係 応力・ひずみ關係については、前報に詳しく示したので省略する。図-1 は、破壊時の軸差応力  $\sigma_f = (\sigma_1 - \sigma_3)$  と含水比  $w$  の関係である。乾燥試料では  $D_0$ ,  $D_{20}$ ,  $D_{40}$  の間の差は小さいことから、せん断前に  $\sigma_f$  の 40% 以下の応力を 120 時間与えても強度への影響は小さいことがわかる。一方、湿润試料では  $D_{0W}$ ,  $D_{20W}$ ,  $D_{40W}$  の間の差は小さいので、応力経路のどの位置で給水しても、せん断強度には、僅かな影響し

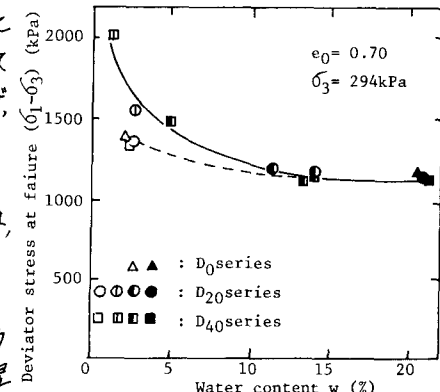


図-1 破壊時の軸差応力と含水比の関係

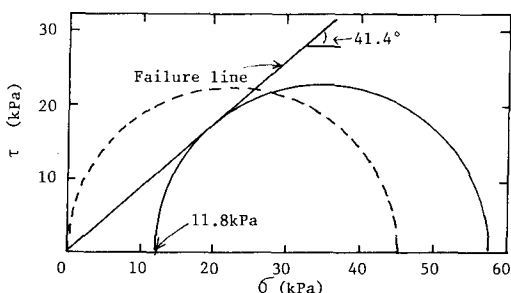


図-2 毛管結合力の推定

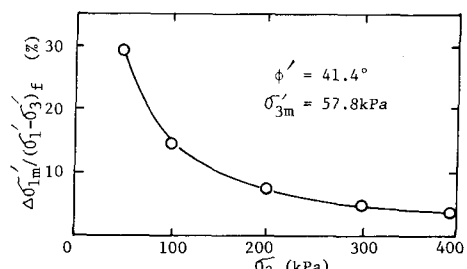


図-3 毛管結合力効果によるせん断強度増加の割合

が手えないといえる。さらに、気乾試料の多くに対し、湿潤試料の多くは約20%低く、湿潤後の再気乾試料の多くは約30%高いことが明らかである。

**3.2 砂管結合力と含水比の関係**  $D_{40}W$  試験において  $\epsilon_s = 10\%$  で実験を停止し、供試体からゴムストリーナーを除去し、砂管結合力のみで自立した状態で一軸圧縮強度を調べた。その結果、図-2に示すように 45.1 kPa の強度となった。この全応力モール円が破壊線に接するまで移動させると、有効応力円(実線)となってその内には砂管結合力によって生じた有効側圧の増加  $\Delta \sigma'_3$  を手える。図-3は、破壊時側差応力に及ぼす砂管結合力効果の割合  $\Delta \sigma'_3 / (\sigma'_1 - \sigma'_3)$  を側圧に対してプロットしたものである。

**3.3. 摩擦効果と含水比の関係** マニ土の場合は、主要鉱物である石英、長石と雲母とでは摩擦特性が著しく異なるので、試料全体としての摩擦効果の変化を知るために2種類の実験を行った。一つは、原試料から取り出した 5 cm<sup>2</sup> 程度の岩片を岩盤円形容器内に石膏で固定して、直角面の摩擦係数を調べた(図-4)<sup>2)</sup>。他方は、直角間摩擦角を求めるため Rowe の方法により、岩片とマニ土試料を用いて実験した(図-5)。この2つの実験結果から、湿潤により摩擦効果が増加することを、マニ土とマニ土のせん断強度の増加と結びつけることはできないにしても、マニ土の摩擦効果は水分の増大で増加することは確かであるといえよう。

**3.4. 粒子破碎効果と含水比の関係** マニ土は 100 kPa 程度の側圧下でせん断せると、かなりの量の粒子破碎を生じる。また、含水比及び側圧が大きくなると粒子破碎量も増えせん断特性への影響も大きくなる。図-6は、ある応力レベル  $q/q_f$  まで載荷される過程で生じた粒子破碎量  $\Delta S$  とその応力下で給水したことによって生じた  $\Delta S$  の関係である。この図より、高い応力レベルで給水せると著しく粒子破碎が進むことが判明。また、気乾試料に比べて湿潤試料は、粒子破碎を生じやすくなり粒子破碎量が大きく、したがってダイレイタシーエフェクトは减弱して、せん断強度は低くなることも本研究で明らかとなった。なお、気乾試料  $D_{40}W$  の多くよりも湿潤後再気乾試料  $D_{40}WD$  の多くの方が高いのは、後者は湿潤過程で粒子破碎がかなり進行して強度も密度もより安定な方に変化しており、同時に含水比も空乾状態に戻されておりるので、破壊点での粒子破碎率は  $D_{40}$  のそれよりも小さく、結果として高いせん断強度を示したと解釈される。

**付記** 本研究は、山口大学工学部地域開発工学研究室を中心とする研究グループにより実験した結果をまとめものである。

**参考文献**

- 1) 三浦哲也、原田敬：含水比の変動に対する砂質土のせん断特性の変化について、第17回土壤工学研究発表会、1982.
- 2) Rowe, P.W.: Stress-Dilatancy Relation for Static Equilibrium of an Assembly of Particles in Contact, Proc. Royal Soc., A 269, pp.500-527, 1962.

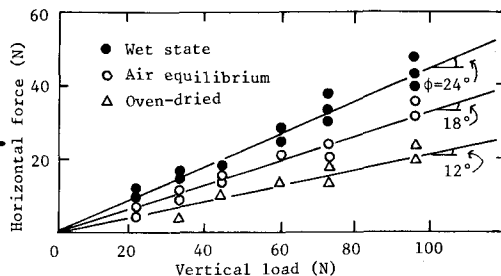


図-4 マニ土-岩間に摩擦角に及ぼす水分の影響

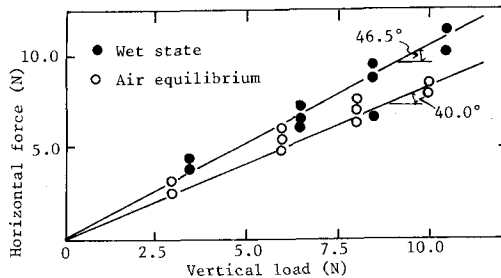


図-5 マニ土-岩間に摩擦角に及ぼす水分の影響

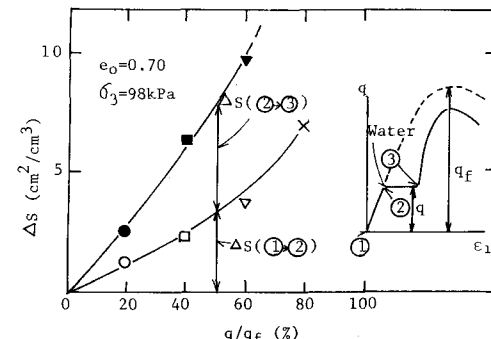


図-6 水供給時の応力レベル ( $q/q_f$ ) と  
粒子破碎量  $\Delta S$  の関係